Известия АН Армянской ССР, Науки о Земле, 3, 13—23, 1978

УДК—551.7.02(083.4)

А. А. ТАЩЯН

ГЕОЛОГО-ГЕОФИЗИЧЕСКАЯ КОРРЕЛЯЦИЯ РАЗРЕЗОВ МИОЦЕНОВЫХ ОТЛОЖЕНИЙ АРАРАТСКОЙ ВПАДИНЫ И УСТАНОВЛЕНИЕ СТРАТИГРАФИЧЕСКОГО ПОЛОЖЕНИЯ ЗАЛЕЖЕЙ КАМЕННОЙ СОЛИ

Согласно общепринятой схеме расчленения миоценовых отложений Араратской межгорной впадины, нижняя свита пестроцветных молассов этих отложений относится к верхнему олигоцену-нижнему миоцену, средняя—соленосно-гипсоносная свита—к среднему миоцену и верхняя—разданская свита—к верхнему миоцену [сармату]. Исключение составляет более полный разрез миоценовых отложений Октемберянской депрессии, представленный разнообразными орогенными осадками, которым трехчленная стратиграфическая схема расчленения не подходит. Здесь, над размытой поверхностью карбонатно-терригенного эоцена с Nummulites millecaput залегает мощная толща молассоидов, включающая две свиты пестроцветных отложений. Одна из этих свит подстилает и фациально замещает нижние слои серых молассоидов, именуемых здесь октемберянской свитой, а другая—фациально замещает верхние слои последней и называется верхней пестроцветной свитой. Отложения верхней пестроцветной свиты, в свою очередь, фациально переходят в гипсоносно-соленосные образования, которые перекрываются серыми глинисто-алевритовыми породами с характерными для карагана остракодами Jlyocypris brodyi Sars, Potamocypris Sp.? Limnocythere hoctemberianica Bub. [определение С. А. Бубикян].

Описываемый разрез в северных краевых частях Октемберянской депрессии и на Кармрашенском поднятии наращивается еще фоладовыми слоями конка, которые перекрывают как караганские слои, так и отложения октемберянской свиты с фауной чокракского горизонта Spirialis subtarchanensis Zhichenko [определение П. М. Асланяна]. Наконец, разрез миоценовых отложений северо-западной части Араратской впадины венчается мактровыми слоями верхнего сармата, которые в свою очередь замещаются пепловыми туфобречкиями склонов горы Арагац.

Подобное различие в миоценовых разрезах восточной и западной частей Араратской впадины создает различные представления о взаимоотношениях разных литологических комплексов пород, в том числе и залежей каменной соли. Поэтому на основании региональных сопоставлений одни исследователи верхние пестроцветные и соленосные отложения Кохбской мульды и Октемберянской депрессии относят к верхним частям разреза миоценовых отложений, а другие считают их синхронными с приереванскими пестроцветными и соленосно-гипсоносными свитами, что материалами бурения не подтверждается.

Послойной корреляцией пробуренных в Араратской котловине 110 скважин и обнаженных разрезов выяснилось, что большинство горизонтов и свит миоценового комплекса отложений залегает линзовидно или замещается другими литологическими разностями пород. В силу этого не всегда удается региональным сопоставлением выявить сложное взаимоотношение лишенных фауны свит и прогнозировать истинное их стратиграфическое положение. Вопрос осложняется и тем, что сходные по литологическому составу, но различные по возрасту комплексы пород, какими являются гипсоносно-соленосные и пестроцветные отложения Араратской впадины, почти повсюду перекрыты мощным покровом четвертичных лав.

В настоящей статье кратко изложены результаты наших долголетних исследований и предложена новая послойная схема корреляции миоценовых отложений Араратской впадины. Надеемся, что эта дробная схема расчленения будет полезной для выявления истинных взаимоотношений различных комплексов пород миоценовой толщи, выяснения их фациальных особенностей и стратиграфического положения, а также ряда спорных вопросов, касающихся палеогеографии и тектоники региона.

Ниже приводим краткую характеристику 14 пачек пород, выделенных в наиболее полном сечении разреза миоценовых отложений с помощью 15 геолого-геофизических маркирующих горизонтов [3], позволяющих проследить ряд выдержанных пачек на всей территории Араратской впадины и определить фациальное замещение одних типов пород другими (рис. 1).

Первая пачка пород представлена высокоомными [более 50 *омм*] пестроцветными туфобрекчиями, туфоконгломератами и гравелотуффитами мощностью 300 *м*. Присутствует она только в центральной, наиболее прогнутой части Октемберянской депрессии, где в ингрессивном залегании перекрывает породы среднего эоцена [слой б]. Эта пачка в восточной и северной краевых частях депрессии выклинивается, а к западу выдержанной мощностью прослеживается за пределами государственной границы.

Вторая пачка пород в центральной части Октемберянской депрессии связана с первой пачкой постепенным переходом и слагается чередующимися низкоомными [4—18 *омм*] серыми и коричневыми туфогенными песчаниками и глинами мощностью 400 *м*. В пределах Маркара-Кармрашенского поднятия и Зейва-Ранчпарской депрессии, где первая пачка отсутствует, она в грубой фации и сокращенной мощности ингрессивно перекрывает различные горизонты палеоцена и порфириты мезозоя. В пределах Тазагюхского горста и Ереванского прогиба эта пачка отсутствует.

Третья пачка пород в центральной части Октемберянской депрессии слагается ритмично чередующимися слоями серых и серовато-зеленых, в основном низкоомных [4—12 *омм*] гастроподовых песчаников и красно-бурых глин мощностью 450 *м*. В краевых частях депрессии и

за ее пределами она также представлена грубозернистыми красно-бурыми маломощными песчаниками. В Октемберянской и Зейва-Ранчпарской депрессиях и на Маркаринском поднятии эта пачка залегает на предыдущей пачке, а в разрезах скважин №№ 114, 115 и 15-Раздан она ингрессивно перекрывает образования эопалеозоя, эоцена и олигоцена. В Ереванском прогибе третья пачка отсутствует.

Четвертая пачка пород в Октемберянской депрессии представлена чередующимися серовато-зелеными туфопесчаниками, алевротуффитами и туфопелитами, мощностью 400—450 *м*, выраженными сильно дифференцированными кривыми КС с сопротивлением от 2—4 до 20 *омм*. Пачка характерна содержанием унионид и остатков обугленной растительности. За пределами Октемберянской депрессии эта пачка не отличается от третьей. Обе они сложены красно-бурыми, плохо отсортированными глинистыми песчаниками, гравелитами и глинами, фиксирующимися на диаграммах слабо дифференцированными кривыми КС и ПС. В пределах Ереванского и Фонтанского прогибов и Егвардского поднятия, где первые три пачки отсутствуют, четвертая пачка разными своими слоями покрывает размытую поверхность шорахбюрской свиты.

Пятая пачка пород является наиболее выдержанной в разрезе миоценовых отложений Араратской впадины. В пределах Октемберянской депрессии и Маркаринского поднятия представлена она относительно высокоомными [до 30 *омм*] серовато-зелеными туфогенными чередующимися алевролитами и глинами общей мощностью 200—300 *м*. Она здесь характеризуется содержанием гастропод и обугленной растительности, которая в кровле пачки образует выдержанный прослой углефицированного сланца. В пределах Зейва-Ранчпарской депрессии, Тазагюхского поднятия и Ереванского прогиба пятая пачка слагается также выдержанными пластами красно-бурых песчаников и гравелитов с прослоями серых глин общей мощностью 60—80 *м*. Эта пачка на каротажных диаграммах скважин регистрируется относительно высокоомными [до 20 *омм*] песчаными породами, пики которых на кривой КС разделены узкими низкоомными сегментами, отвечающими глинистым разделам. Этим она четко отличается от подстилающих и перекрывающих пачек на всей территории Араратской впадины и служит региональным геолого-геофизическим маркирующим горизонтом в толще миоценовых отложений.

Шестая пачка пород в центральной части Октемберянской депрессии представлена темно-серыми глинами и алевролитами с прослоями мелкозернистых песчаников общей мощностью 180—220 *м*. В краевых частях депрессии мощность и число глинистых пластов сокращается, и пачка слагается уже преимущественно песчаными породами гораздо меньшей мощности [60—100 *м*]. Эта пачка отличается наличием крышечек Bithynia ventricosa Gray в глинистых ее прослоях и обугленной растительности в песчаных. Ввиду неоднородности слагающих пачку пород, соответствующая ей кривая КС изменяется от слабо извилистой

в центральной части депрессии до сильно дифференцированной в краевых ее частях.

Седьмая пачка пород в наиболее прогнутой части Октемберянской депрессии слагается светло-серыми, на ощупь жирными глинами мощностью 150—300 *м*, выраженными на каротажных диаграммах почти сглаженными кривыми КС и ПС. В ее основании залегает пласт темно-серой глины с большим количеством крышечек Viviparus novorossicus Sinz., а под ним прослеживается пласт светло-серого песчаника, фиксирующегося обособленным пиком на кривых КС всех скважин. Как предыдущие, так и эта пачка в пределах Зейва-Ранчпарской депрессии, Тазагюхского горста и Ереванского и Фонтанского прогибов претерпевает литологическое изменение. Седьмая и шестая пачки представлены здесь сходными и не разграничивающимися между собою, чередующимися слоями красно-бурых и серых низкоомных [2—10 *омм*] песчаников, алевролитов и глин, общей мощностью всего лишь 100—200 *м*. Однако на каротажных диаграммах эти пачки разко отграничиваются от подстилающих и перекрывающих, относительно высокоомных гравелитов и грубозернистых песчаников пятой и седьмой пачек.

Восьмая пачка пород в центральной части Октемберянской депрессии также представлена светло-серыми жирными глинами мощностью 300 *м*, которым соответствуют сглаженные кривые КС и ПС. Здесь в основании пачки залегают чередующиеся прослойки тонкозернистого песчаника и темно-серого алевролита, заметно отличающиеся от подстилающих светло-серых глин предыдущей пачки как внешне, так и на каротажных диаграммах. В кровле пачки имеется выдержанный по всей Октемберянской депрессии пласт темно-серой, листоватой глины, содержащей большое количество макроскопически заметных остракод. В краевых частях депрессии слагающие восьмую пачку глины постепенно замещаются маломощными прослоями алевролитов и песчаников, которые, в свою очередь, за пределами Октемберянской депрессии, фациально переходят в красно-бурые разности песчано-глинистых пород.

Девятая пачка пород в центральной части Октемберянской депрессии представлена в основном темно-серыми глинами и алевролитами с прослоями пепельно-серых песчаников, общей мощностью 150—200 *м*. В краевых частях депрессии она также замещается большей частью песчаниками, ритмично чередующимися с алевролитами и маломощными глинами, где их общая мощность сокращается до 50—70 *м*. Эта пачка в верхней части разреза октемберянской свиты выделяется сильно дифференцированной кривой КС и содержанием гастроподовой фауны, которая во многих песчаных ее пластах изобилует, образуя порою пластки ракушечника.

Десятая пачка пород представлена в центральной части Октемберянской депрессии ритмично чередующимися темно-серыми глинами, алевролитами и зеленовато-серыми песчаниками с доминирующим значением глин. К краевым частям депрессии значительная часть глин за-

Рис. 1. Схема корреляции миоценовых отложений Араратской межгорной впадины: 1—брекчии и туфобрекчии; 2—конгломераты и туфоконгломераты; 3—гравелиты и гравелотуффиты; 4—песчаники и туфопесчаники; 5—алевролиты и алевротуффиты; 6—пелиты и туфопелиты; 7—известняки и пелитоморфные известняки; 8—мергели и ракушечники; 9—каменная соль, гипс; 10—углистые сланцы и доломиты; 11—кварциты и метаморфические сланцы; 12—интрабазальты; 13—порфириты; 14—нуммулиты, гастроподы; 15—униониды и обломки макрофауны; 16—крышечки Viviparus; 17—крышечки Bithynia; 18—остракоды; 19—остатки обугленной растительности; 20—линия инверсии; 21—границы пачек; 22—единый маркирующий горизонт; 23—границы октемберянской свиты; 24—регнональный перерыв; 25—межпластовые перерывы; 26—кривая зонда А 0,5 М 2,0 Н; 27—2-р номера поисково-разведочных и параметрических скважин; 28—номера структурно-картировочных скважин.

мещается туфопесчаниками, иногда красно-бурой окраски. Прослои красно-бурых глин отмечены также в обнаженных в ущелье р. Аракс разрезах девятой и десятой пачек. Мощность десятой пачки колеблется от 180 до 270 *м* в центральной части депрессии и до 80—100 *м*—в краевых ее частях. Пачка выражена на диаграммах дифференцированными кривыми КС и ПС. Слагающие как десятую, так и предыдущие две пачки сероцветные породы в пределах Зейва-Ранчпарской депрессии и Газагюхского горста замещаются внешне сходными между собою, ритмично чередующимися красно-бурыми и серыми, плохо отсортированными низкоомными [4—8 *омм*] песчаниками, алевролитами и глинами, общей мощностью 100—200*м*. В Ереванском и Фонтанском прогибах эти терригенные осадки фациально переходят в мощную толщу чередующихся слоев каменной соли, ангидрита, гипса и глин с доминирующим значением первых.

Одиннадцатая пачка пород слагается многократно чередующимися слоями туфогенных песчаников, алевролитов и глин, общей мощностью 100—180 *м*. В Октемберянской депрессии она имеет серую и сероватозеленую, а на Маркаринском поднятии и в обнажениях ущелья р. Аракс пестроцветную окраску. В пачке имеются три пласта рыхлых песчаников, богатых раковинами Unio mactrella Bog. и другими унионидами. Эти пласты на кривых ПС фиксируются глубокими отрицательными значениями естественных потенциалов до 50 *мв*, чем и четко отличаются на каротажных диаграммах от песчаных пластов других пачек описываемого разреза. Терригенные осадки пачки за пределами Октемберянской депрессии также замещаются высокоомными галогенными образованиями.

Двенадцатая пачка пород в центральной части Октемберянской депрессии представлена мощностью 150 *м* серыми и серовато-зелеными туфогенными песчаниками, алевролитами и глинами, содержащими, в отличие от предыдущей и последующей пачек, только обугленные растительные остатки. К краевым частям депрессии в пачке появляются сначала единичные, затем и частые прослои красно-бурых глин, встречающихся в обнаженном ее разрезе у развалин с. Асар и, по данным А. М. Марголиуса, Кохбской мульды [5]. В пределах Маркаринского поднятия пачка представлена гипсоносными глинами, замещенными в Зейва-Ранчпарской депрессии и Приереванском районе залежами каменной соли.

Тринадцатая пачка пород в центральной части Октемберянской депрессии размыта плиоценовой эрозией. В краевых ее частях она представлена чередующимися пластами серовато-зеленых и красно-бурых туфопесчаников, алевротуффитов и глин с гастроподовыми ракушечниками и обугленной растительностью. Далее, в самых краях Октемберянской депрессии (скважины №№ 5-к, 2-р и обнаженный разрез Кохбской мульды), они большей частью замещены гипсоносно-соленосными осадками, содержащими в Кохбской мульде гастроподовую фауну и обу-

гленную растительность (данные А. М. Марголиуса). Чередованием каменной соли и глин слагается эта пачка также в Зейва-Ранчпарской депрессии, где она по более высокоомным сопротивлениям солей и частотой глинистых разделов отличается от других частей разреза соленосной толщи.

Четырнадцатая пачка пород представлена серыми глинами и алевролитами с прослоями тонкозернистых зеленовато-серых песчаников. В Октемберянской депрессии, на Маркаринском поднятии и в разрезах скважин №№ 30-к и 17-Кош она прослеживается над свитой солей, а в обнажениях ущелья р. Аракс перекрывает гастроподовые пестроцветные слои октемберянской свиты. В Ранчпарской депрессии эта пачка включает прослои каменной соли, а в разрезах скважин №№ 17-Кош, 30-к, 59, 58 и др.—характерные для караганского горизонта указанные выше остракоды и харовые водоросли. В Ереванском и Фонтанском прогибах пачкам 13 и 14 соответствуют, на наш взгляд, глины нижних слоев разданской свиты.

Резюмируя краткое изложение фактического материала бурения, иллюстрированного на корреляционной схеме разрезов миоценовых отложений Араратской межгорной впадины (рис. 2), можно заключить,

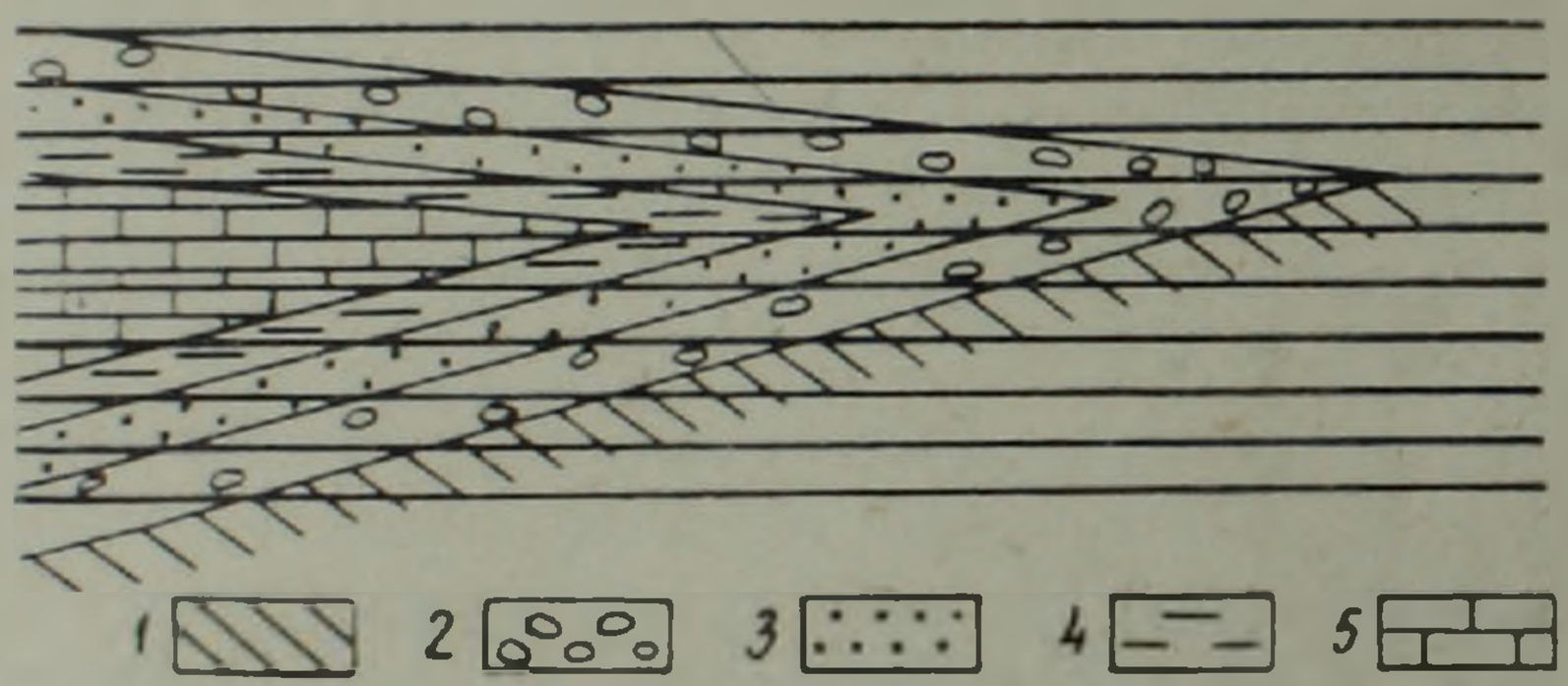

Рис. 2. Схема образования слоев при перемещении береговой линии: 1—подстилающие породы; 2—галечники; 3—песок; 4—глина; 5—известняк.

что все охарактеризованные пачки отлагались в едином бассейне, но на различных его глубинах и вырисовывают картину известной схемы образования слоев при перемещении береговой линии (рис. 2) [6]. Из корреляционной схемы явствует, что в один и тот же век образовались различные по цвету и литологическому составу породы или, наоборот, многие их горизонты и пачки, внешне сходные по цвету, литологическому составу и содержанию микрофауны, образовались в совершенно различные периоды времени миоценовой эпохи. В западной части впадины (Октемберянская депрессия) толща в целом сложена сероцветными, преимущественно глинистыми, относительно глубоководными, мощными осадками, отдельные пачки которых связаны между собою постепенным переходом. При этом, все пачки с устойчивым литологическим составом и выдержанной мощностью, по данным скважин №№ 20, 21, 27 и

8—Ахурян, прослеживаются до государственной границы и, возможно, достигают центральной части Карсского прогиба. Между тем, в центральной и восточной частях Араратской впадины эти осадки фациально замещаются крупно-, порою грубозернистыми, большей частью красноцветными прибрежными отложениями, затем и в верхней половине разреза галогенными образованиями. Смена фаций происходит не только в горизонтальном, но и в вертикальном направлениях. Так, если нижняя половина разреза всех депрессий и поднятий снизу начинается брекчиями и конгломератами, переходящими кверху в пестроцветные, затем в сероцветные песчано-глинистые и глинистые отложения, то верхняя их часть, наоборот, начинается глинистыми или мелкообломочными терригенными,относительно глубоководными осадками, переходящими кверху в крупнообломочные, пестроцветные, затем и галогенные образования.

Подобная смена фаций бесспорно указывает в первом случае на ингрессивную, а во втором на регрессивную природу образования рассматривамой толщи. Вместе с тем повсеместный переход глинистых пород седьмой пачки в песчаные или галогенные отложения восьмой пачки пород вырисовывает место инверсии в разрезе толщи, которое на корреляционной схеме показано прямой линией. Ингрессивные и регрессивные явления в процессе образования миоценовых отложений фиксируются также другими факторами. Так, красноцветные грубообломочные породы нижней части разреза толщи в пределах Маркаринского поднятия и Зейва-Ранчпарской депрессии, а также Тазагюхского горста и Ереванского прогиба имеют равные мощности. Такое соотношение их мощностей свидетельствует о том, что при постепенном расширении межгорного залива с запада на восток территории Маркаринского и Тазагюхского поднятий, а также соответственно Зейва-Ранчпарской депрессии и Ереванского прогиба затапливались одновременно.

Как отмечалось, пестроцветные маломощные отложения Маркаринского поднятия на западе фациально замещены мощными, сероцветными осадками Октемберянской депрессии, а на востоке—мощной толщей каменной соли Зейва-Ранчпарской депрессии. Детальное фациально-литологическое изучение этих образований дало возможность выяснить, что причина сокращения мощности пестроцветных пород кроется в цикличных размывах ранее отложенных верхних частей микроритмов. Поскольку пестроцветные слои отлагались в прибрежных условиях, пульсационные колебательные движения береговой линии бассейна вызвали межпластовые размывы регрессивной части каждого микроритма и сокращение общей мощности пестроцветных отложений. Наряду с многочисленными фактами это подтверждается еще и тем, что пестроцветные слои по числу частично размытых микроритмов совпадают с числом пластов каменной соли, а перемежающиеся с солями глинистые прослои представляют собою продолжение глинистых частей микроритмов пестроцветных пород. Видимо, эти глинистые про-

слои образовались одновременно, когда расположенный в пределах Маркаринского поднятия подводный барьер оказался в погруженном под водой состоянии, а примыкающий к нему солеродный бассейн в это время снабжался свежей порцией воды.

Из корреляционной схемы следует, что когда область накопления осадков с ингрессивного режима перешла на регрессивный, Приереванский солеродный бассейн посредством Тазагюхского, растущего тогда горста, раньше других депрессий отчленился от общего водоема, где и начался процесс солеобразования. Между тем, в Зейва-Ранчпарской и Октемберянской депрессиях продолжалось еще осаждение соответственно пестроцветных песчаников и сероцветных однообразных глин. Позже посредством Маркаринского поднятия от общего водоема отчленяется и Зейва-Ранчпарский солеродный бассейн, а в гораздо поздний период времени воды миоценового залива покидают также пределы Октемберянской депрессии совместно с Кохбской мульдой. Поэтому гипсоносно-соленосные осадки здесь образовались лишь за тот период времени, когда солеобразование в Ереванском прогибе уже прекращалось [рис. 3].

Таким образом, анализ фактического материала бурения свидетельствует, что разработанные ранее схемы расчленения миоценовых отложений Араратской впадины не отвечают истинной картине взаимоотношений литологических комплексов пород орогенной толщи. Поскольку в этих схемах границы выделенных по цвету и литологическим признакам свит и подсвит являются не стратиграфическими уровнями, а представляют собою фациальные контакты. Однако из имеющихся схем, схема А. Т. Асланяна, разработанная еще в 1950 г., до начала буровых работ в Араратской долине, во многом подтвердилась материалами бурения [1]. К числу сделанных ранее выводов указанного исследователя относятся, например: а) различные стратиграфические положения соленосно-гипсоносных и подстилающих их пестроцветных отложений Кохбской мульды и Приереванского района; б) миоценовый возраст октемберянской свиты, которую другие исследователи относили либо к эоцену, либо считали аналогом шорахбюрской свиты [2]; в) среднемиоценовый возраст пестроцветных отложений Приереванского района; г) фациальный переход сарматских терригенных отложений в пепловые брекчии и ряд других высказываний относительно геологического строения Араратской впадины.

Касаясь вопроса возрастных взаимоотношений выделенных в нашей схеме пачек пород, отметим, что имеющиеся фаунистические данные, хотя и в совокупности с другими геолого-геофизическими методами позволили разрешить многие вопросы, все же элементы условности в ряде случаев по-прежнему остались не устраненными. Так, две нижние немые пачки орогенного комплекса отложений мы относим к нижнему миоцену, возможно, и верхнему олигоцену, присоединяясь к высказанному ранее мнению А. А. Габриеляна [4]. К гельветскому ярусу, также условно, относим породы от третьей до седьмой пачек, поскольку они

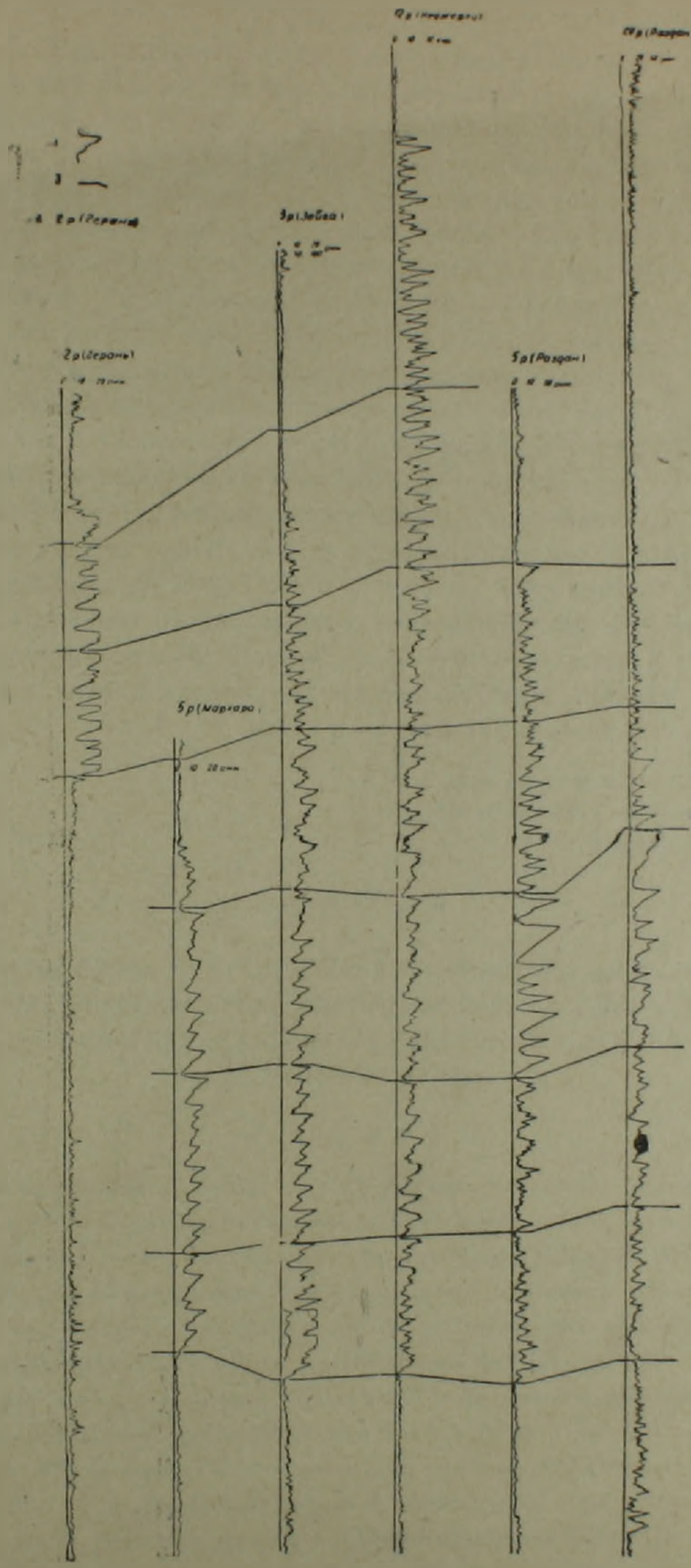

Рис. 3. Схема сопоставления залежей каменной соли Октемберянской, Зейва-Ранчпарской депрессий и Ереванского прогиба: 1—кривая зонда 0 0,5 М 2 2,0 И; 2—границы пачек; 3—2-р номера скважин.

принадлежат к ингрессивной серии осадконакопления, переход которой в регрессивную скорее всего мог быть, связанным с штирийской фазой складчатости. Тархан-чокракский возраст пород от восьмой до тринадцатой пачки обосновывается нами палеонтологически: Limnocythere cf. tschokrakensis Susin (определение Т. Лубенниковой) и Spiralis subtarchanensis Zhichenko. (определение П. М. Асланяна), найденных в породах соответственно седьмой и одиннадцатой пачек. Наконец, отмеченные выше остракоды, характерные для карагана, позволяют нам согласиться с мнением С. А. Бубикян [7] и отнести к караганскому горизонту четырнадцатую пачку пород нашей схемы. Эта пачка в ряде мест перекрывается фоладовыми слоями конкского горизонта.

Таким образом, коррелируя разрезы всех скважин, мы пришли к выводам, что пестроцветные отложения Приереванского района относятся к верхам гельветского яруса, а перекрывающие их соленосно-гипсоносные образования—к нижнему тортону. Между тем, залежи каменной соли Октемберянской депрессии и Кохбской мульды принадлежат к переходным частям чокракского и караганского горизонтов. Что касается мощной толщи каменной соли Зейва-Ранчпарской депрессии, то, по нашему мнению, здесь беспрерывное соленакопление происходило в течение чокракского и караганского веков.

Геолого-геофизическая экспедиция
Управления геологии Совета Министров Армянской ССР

Поступила 18.XI. 1977.

Ա. Ա. ՏԱՇՋՅԱՆ

ԱՐԱՐԱՏՅԱՆ ԻՋՎԱԾՔԻ ՄԻՈՑԵՆԻ ԱՊԱՐՆԵՐԻ ԿՏՐՎԱԾՔՆԵՐԻ ԵՐԿՐԱԲԱՆԱԿԱՆ–ԵՐԿՐԱՖԻԶԻԿԱԿԱՆ ՀԱՏԿԱՀԵՐԱԿՑՈՒԹՅՈՒՆԸ ԵՎ ԱՂԱՅԻՆ ՏԱՐԲԵՐ ՇԵՐՏԱԽՄԲԵՐԻ ՍՏՐԱՏԻԳՐԱՖԻԱԿԱՆ ԴԻՐՔԻ ՈՐՈՇՈՒՄԸ

Ա մ փ ո փ ո ւ մ

Արարատյան դաշտավայրում նավթի ու գազի որոնման հետ կապված հորատված բոլոր հորատանցքերի մանրամասն համադրման միջոցով հեղինակը մշակել է միոցենի նստվածքների մանրամասն ստորաբաժանման սխեմա։ Հորատումից ստացված երկրաբանական-երկրաֆիզիկական փաստական նյութի հիման վրա ապացուցվում է, որ նախկինում անջատված առանձին լիթոլոգիական կոմպլեքսների սահմանները ոչ թե ստրատիգրաֆիական մակարդակներ են, այլ ապարների մեկը մյուսին ֆացիալ անցման կոնտակտներ։

Հոդվածում փորձ է արված նաև որոշել միոցենի նստվածքները կազմող առանձին շերտախմբերի հասակը և հաստատել մերձերևանյան ու Հոկտեմբերյանի շրջանների աղերի ու վերին խայտաբղետ շերտերի հասակային տարբերությունը։ Միոցենի նստվածքներում հեղինակը անջատել է մի ընդհանուր շերտ, որի օգնությամբ հնարավոր է ամբողջ Արարատյան իջվածքի համար կառուցել միասնական տեկտոնա-կառուցվածքային քարտեզներ և այլ սխեմաներ։

ЛИТЕРАТУРА

1. *Асланян А. Т.* Региональная геология Армении. «Айастан», 1958.
2. *Аракелян Р. А., Мелик-Бархударов К. Б., Толмачевский А. А., Тащян А. А.* Перспективы нефтегазоносности олигоценовых и миоценовых отложений Армении и дальнейшее направление геологоразведочных работ. Известия АН Арм. ССР, Науки о Земле, № 3, 1967.
3. *Арутюнян А. Р., Тащян А. А., Егиазарян Г. М.* Геолого-геофизическая корреляция разрезов третичных отложений северо-западной части Араратской впадины. Известия АН Арм. ССР, Науки о Земле, № 6, 1976.
4. *Габриелян А. А.* Палеоген и неоген Армянской ССР. Изд. АН Арм. ССР, Ереван, 1964.
5. *Марголиус А. М.* Материалы для геологии Кавказа, серия III, кн. 8, Тбилиси, 1909.
6. *Рухин Л. Б.* Основы литологии. Госнаучтехиздат, Ленинград, 1961.
7. *Саакян Н. А., Мартиросян Ю. А., Бубикян С. А.* Биостратиграфическое расчленение третичных отложений ЮЗ части Армянской ССР. Известия АН Арм. ССР, Науки о Земле, № 3, 1967.